

膜・粒子への溶質吸着を考慮した 精密濾過モデルの構築

○辰巳 怜¹, 安藤 努², 小池 修³,
辻 佳子^{1,3}, 山口由岐夫³

¹東京大学 環境安全研究センター

²日本大学 生産工学部 機械工学科

³東京大学 大学院工学系研究科 化学システム工学専攻

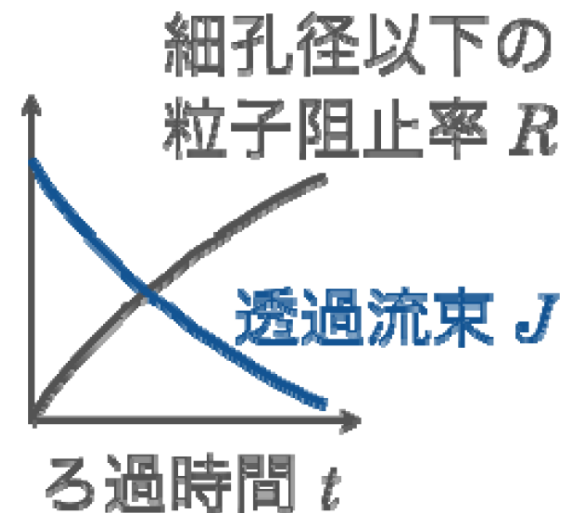
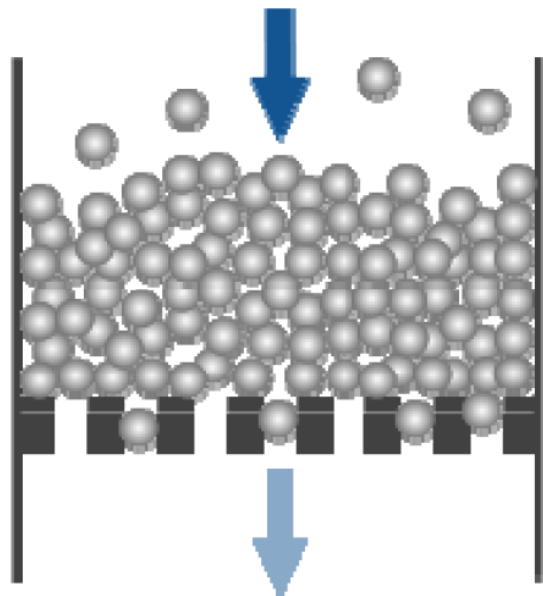
デッドエンド精密濾過の課題

粒子の堆積による閉塞 (fouling)

濾過工程の最適化のための機構解明

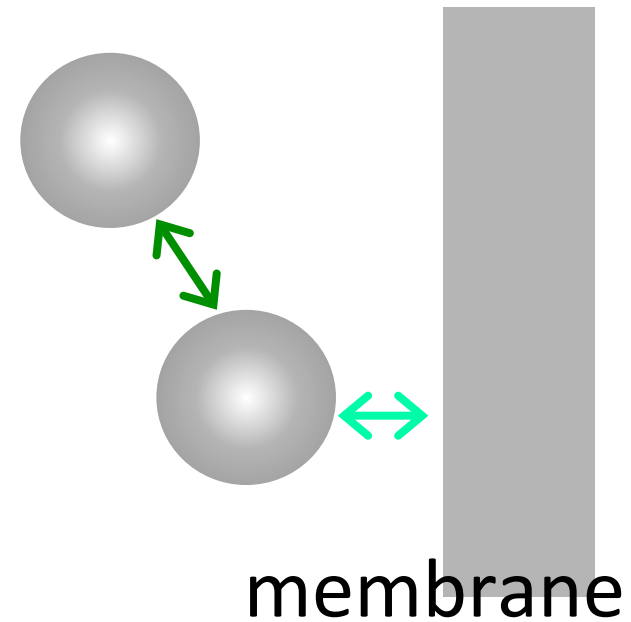
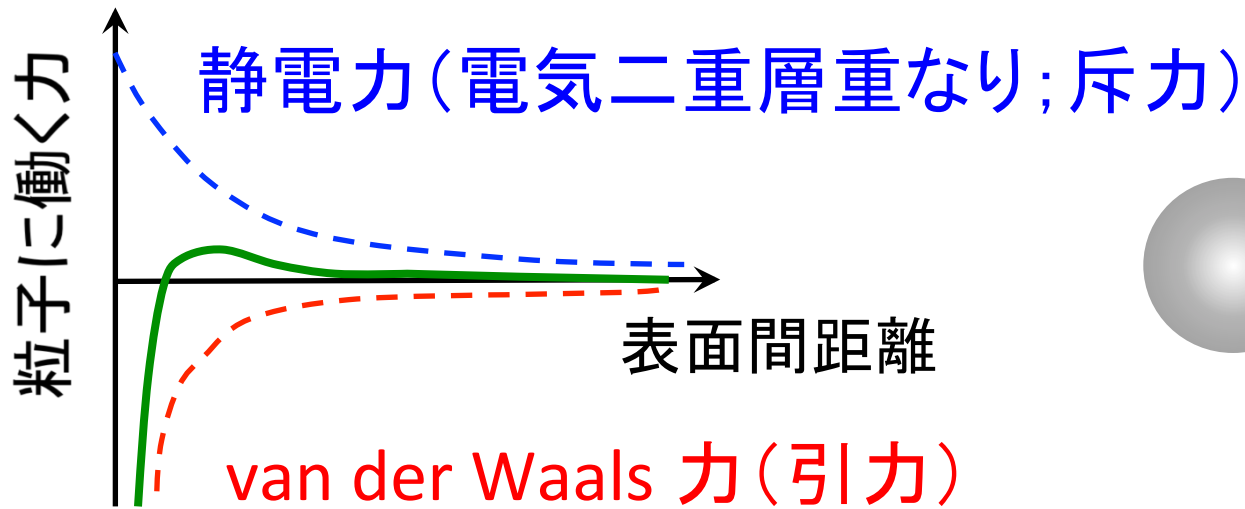
- ・ 運転条件
- ・ 膜
- ・ 粒子

粒子-膜/粒子間相互作用



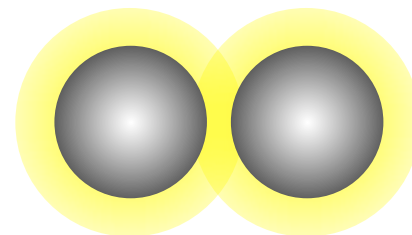
粒子-膜/粒子間相互作用

DLVO理論



吸着性溶質(高分子)添加系

・吸着層重なりによる力



目的

メソスケールモデルによる解析

粒子運動 + 流動場（流体力学；移動境界条件）

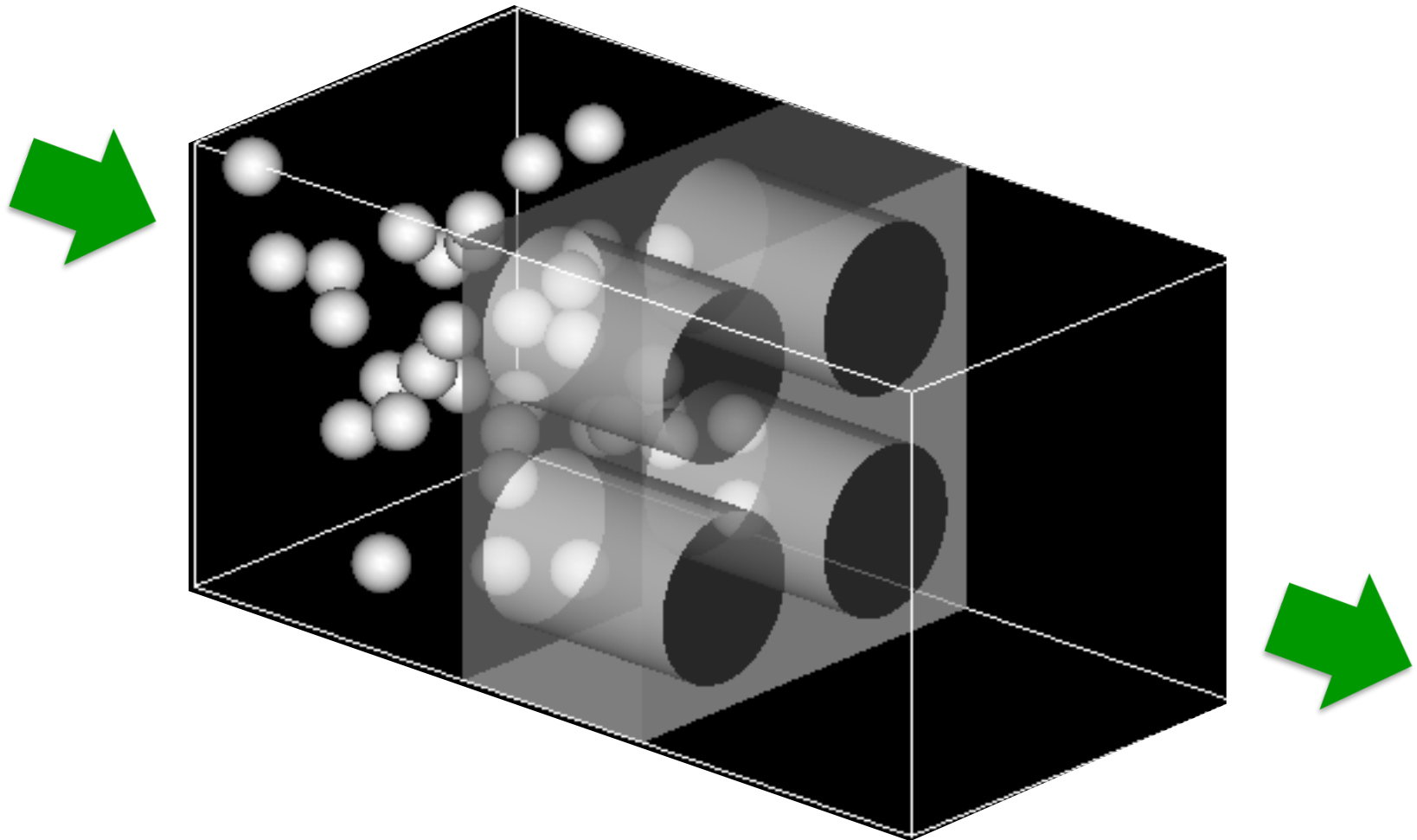
[先行研究：以下の事柄について]

- ・細孔径-粒径比と濾過性能の関係
- ・実験データとの相関

T. Ando et al., *J. Membr. Sci.* **392-393**, 48 (2012).

吸着性溶質を考慮したモデルの開発

先行研究

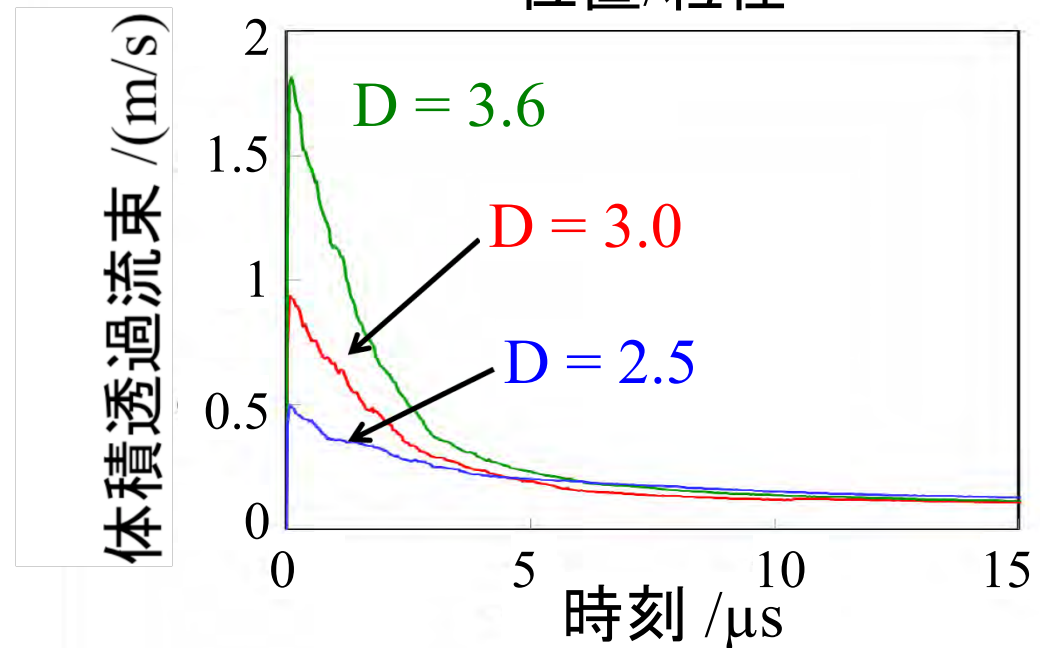
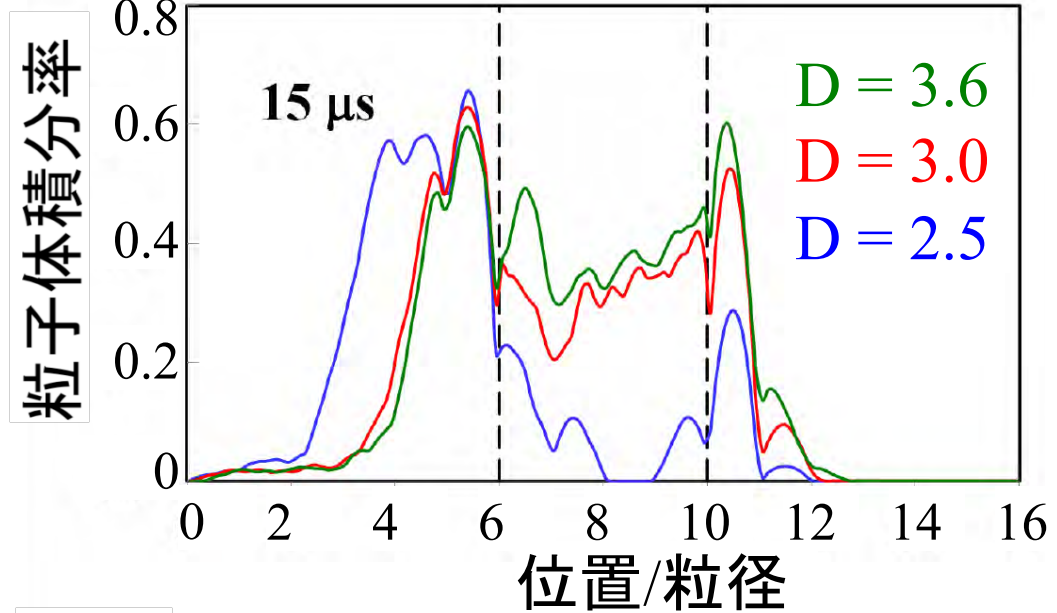
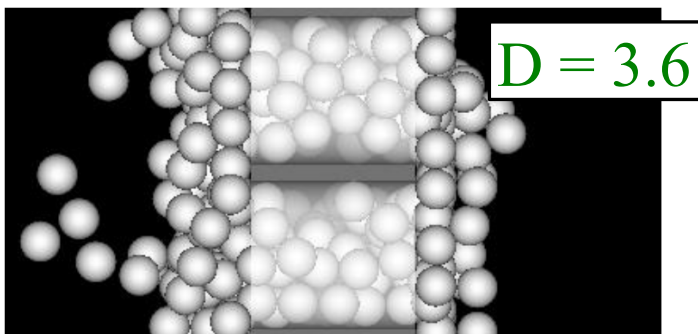
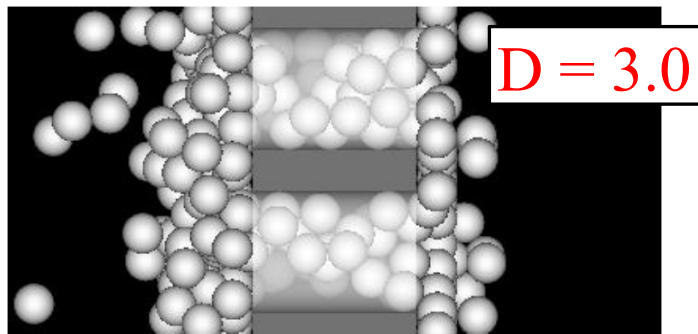
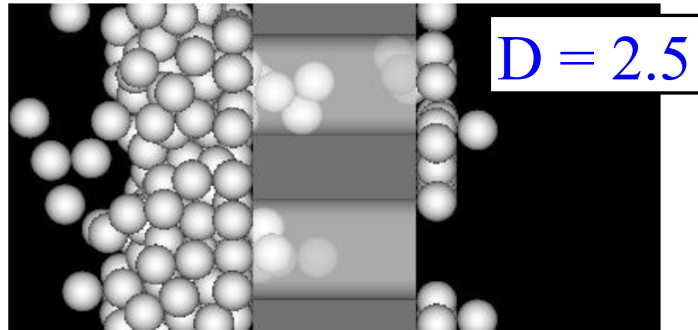


デッドエンド濾過 4細孔モデル

T. Ando et al., *J. Membr. Sci.* 392-393, 48 (2012).

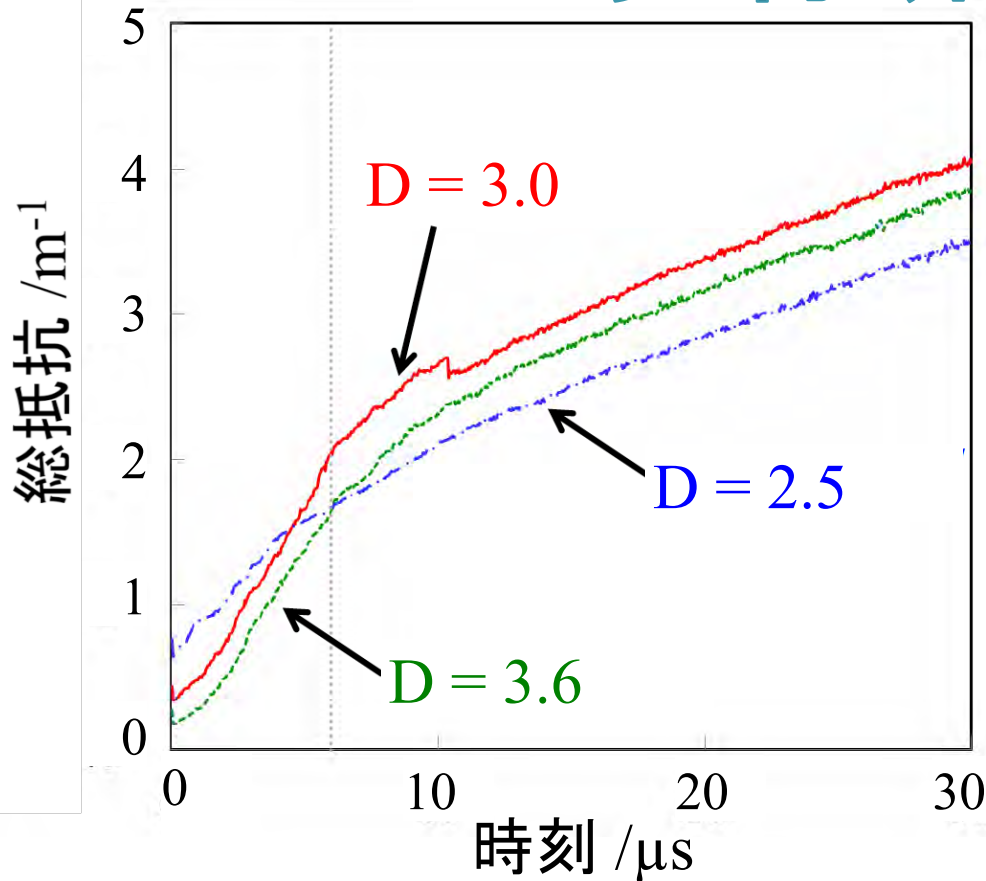
先行研究

$D = \text{細孔径} / \text{粒径}$



T. Ando et al., *J. Membr. Sci.*
392-393, 48 (2012).

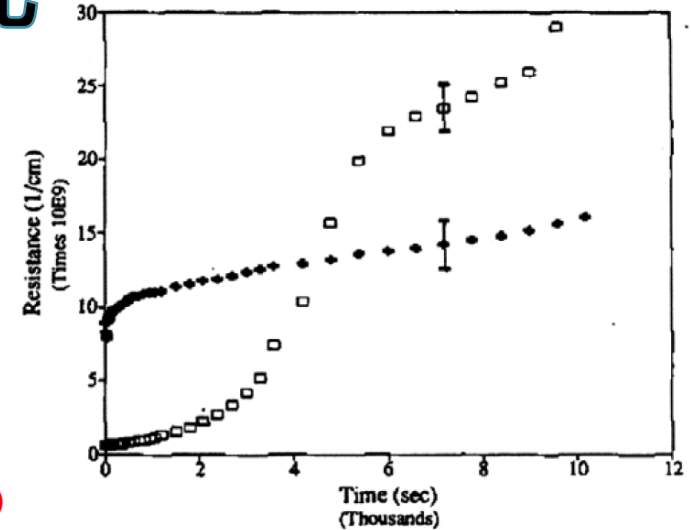
先行研究



T. Ando et al., *J. Membr. Sci.* **392-393**, 48 (2012).

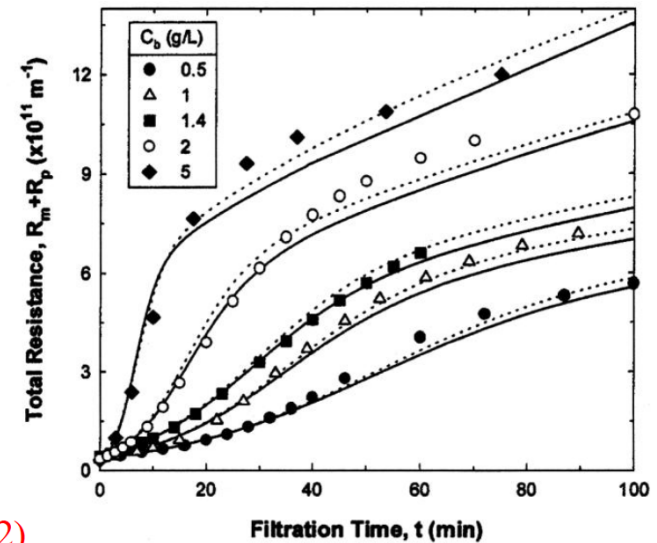
1) E.M. Tracy, R.H. Davis, *J. Colloids Interface Sci.* **167**, 104 (1994).

2) C.C. Ho, A.L. Zydney, *J. Colloids Interface Sci.* **232**, 389 (2000).



*1)

FIG. 4. Total resistance as a function of time for membranes fouled with 0.1 g/liter BSA at 10 psig; (\square) polycarbonate membranes with $0.2 \mu\text{m}$ pores; ($+$) polycarbonate membranes with $0.05 \mu\text{m}$ pores.



*2)

FIG. 3. Total resistance as a function of time for BSA filtration through the PCTE membranes. Solid and dotted curves are model calculations using the complete model (Eq. [16]) and the approximate analytical solution (Eq. [17]).

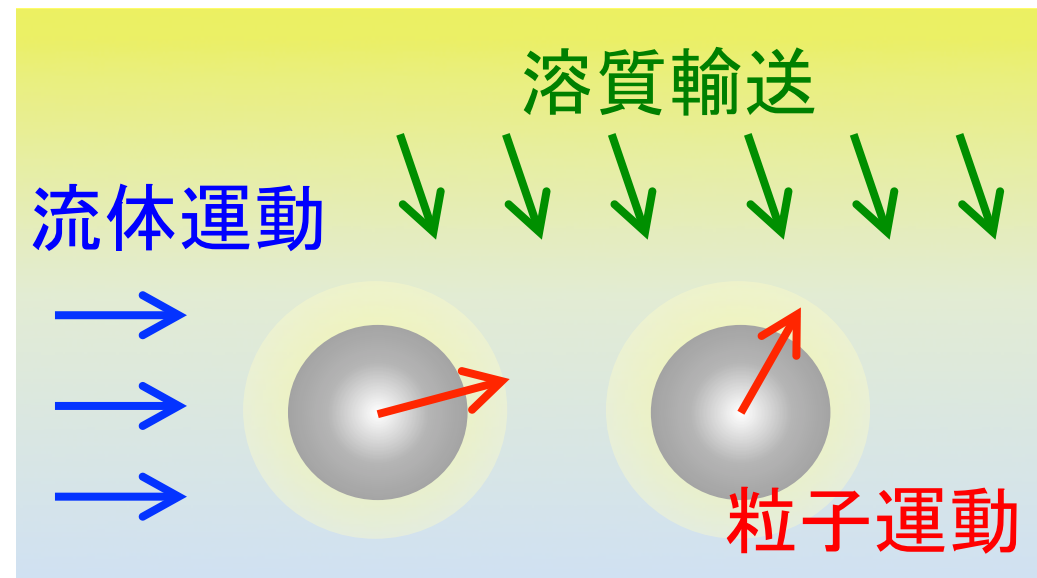
モデル

粒子, 流体, 溶質 の運動/輸送方程式の連成

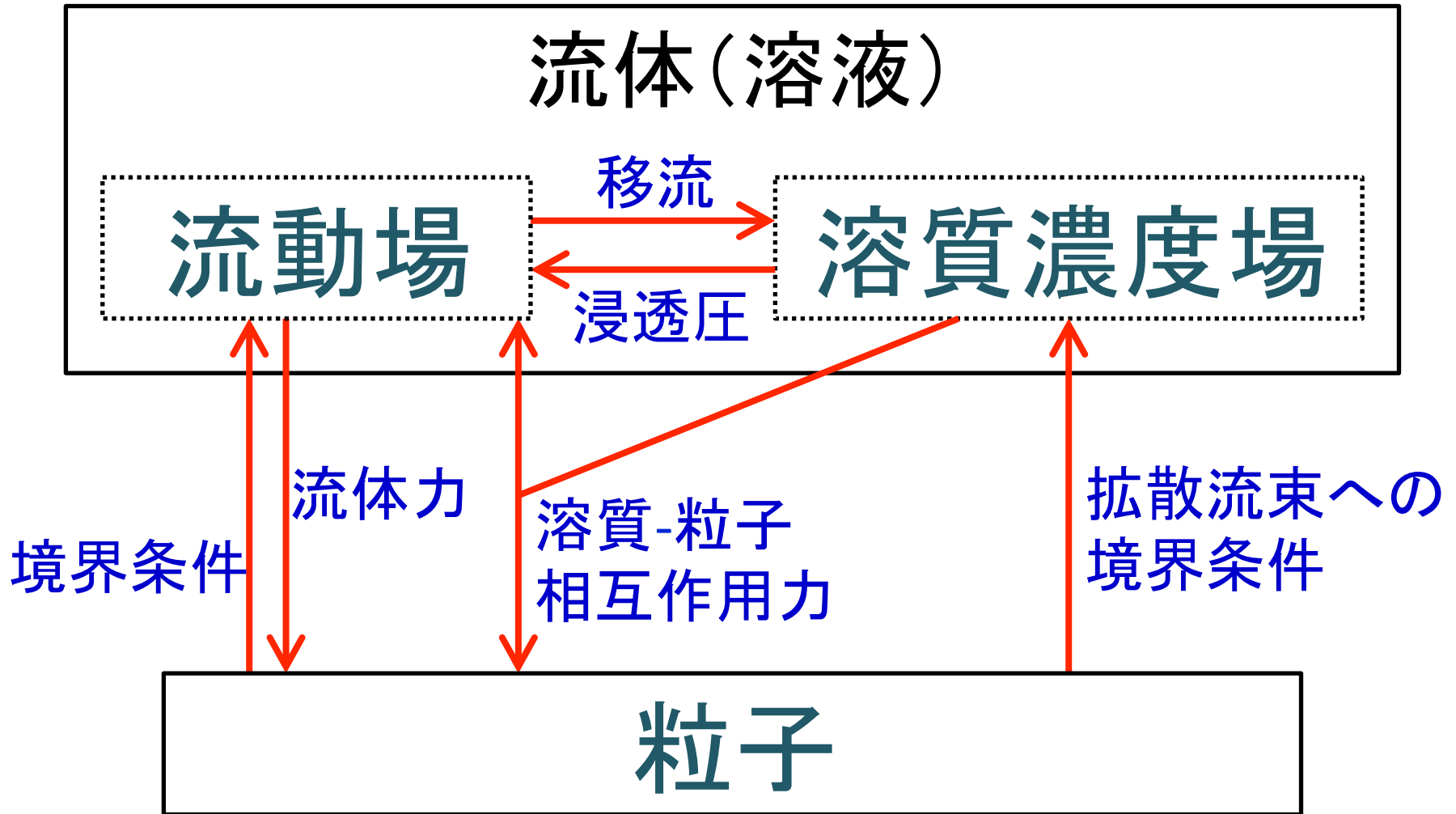
- ・粒子: Newton/Euler の運動方程式
- ・流体: Navier-Stokes 方程式
- ・溶質: 移流拡散方程式

[新しい要素]

- ・溶質の物理吸着
- ・溶質の輸送



運動の連成



支配方程式

溶質濃度場

$$\frac{\partial c}{\partial t} + \nabla \cdot (c\mathbf{v}) = -\nabla \cdot \mathbf{J}$$

拡散流束

物体表面での境界条件

非貫入性
吸着性

流動場

$$\nabla \cdot \mathbf{v} = 0$$

$$\rho \left(\frac{\partial \mathbf{v}}{\partial t} + \mathbf{v} \cdot \nabla \mathbf{v} \right) = -\nabla p + \eta \nabla^2 \mathbf{v} + \rho \Phi \mathbf{a} - c \nabla U_{\text{ad}} - \nabla \pi$$

物体速度を強制する力 物体表面-溶質相互作用
浸透圧

総運動量の保存

粒子

$$M_i \frac{d}{dt} \mathbf{V}_i = \mathbf{F}_i^H + \mathbf{F}_i^S$$

$$\mathbf{I}_i \cdot \frac{d}{dt} \boldsymbol{\Omega}_i = \mathbf{N}_i^H$$

流体力・トルク

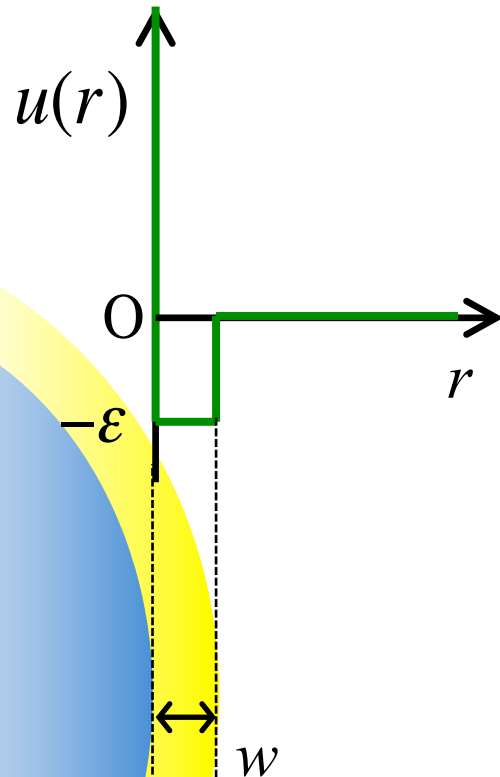
$$\mathbf{F}_i^H = -\int \rho \Phi \mathbf{a} \, dr \quad \mathbf{N}_i^H = -\int (\mathbf{r} - \mathbf{R}_i) \times \rho \Phi \mathbf{a} \, dr$$

粒子-溶質相互作用

$$\mathbf{F}_i^S = \int c \nabla U_{\text{ad}} \, dr$$

吸着のモデル化

物体表面-溶質相互作用：井戸型ポテンシャル



$$u(r) = \begin{cases} \infty & r < 0 & \text{剛体斥力} \\ -\epsilon & 0 \leq r < w & \text{引力} \\ 0 & r \geq w & \rightarrow \text{吸着層形成} \end{cases}$$

吸着エネルギー： $\beta\epsilon = \epsilon / RT$

吸着層厚さ： w

任意形状の物体に適用可能

支配方程式 (溶質濃度場)

溶質濃度場

$$\frac{\partial c}{\partial t} + \nabla \cdot (c\mathbf{v}) = -\nabla \cdot \mathbf{J}$$

浸透圧 $\pi = RT(\Xi - 1)c^*$

拡散流束

$$\mathbf{J} = -D(1 - \Phi)\Xi \nabla c^*$$

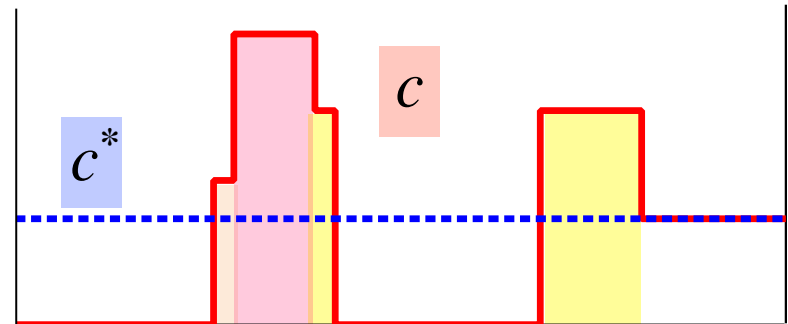
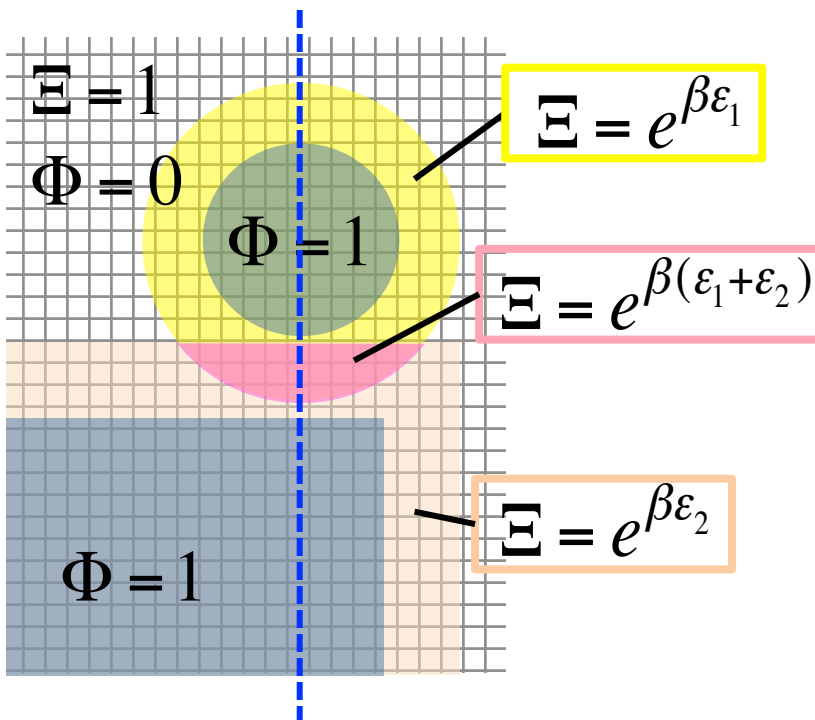
指示函数

Φ : 粒子領域

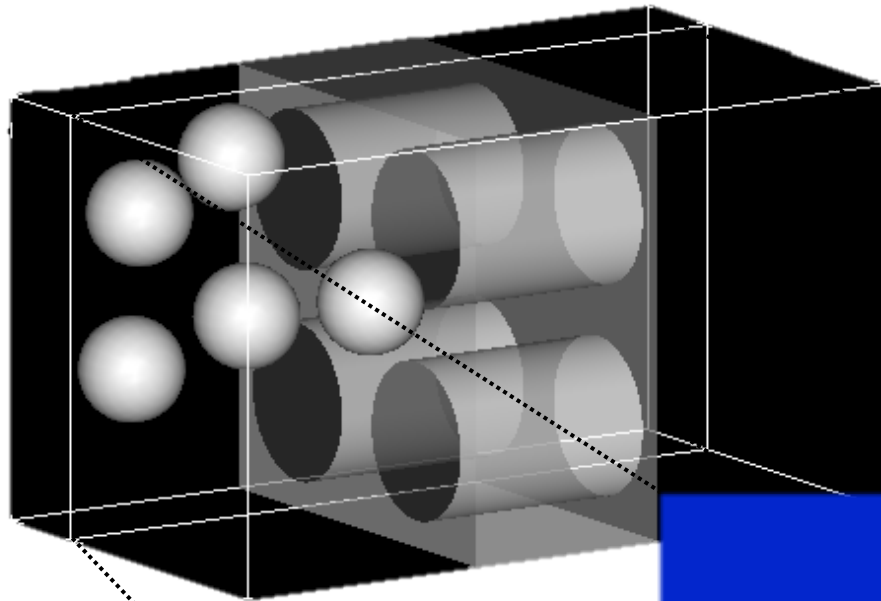
$\Xi = \exp[\beta \sum_i n_i \varepsilon_i]$: 吸着領域

n_i : 吸着層の重なり数

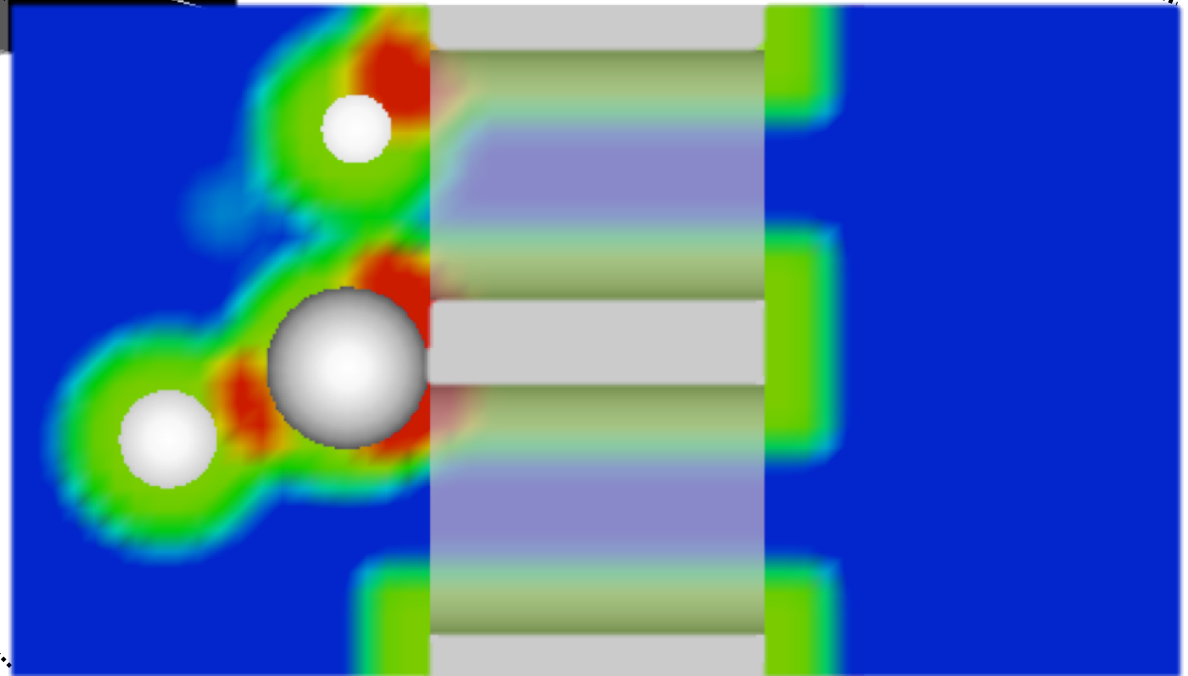
$c = (1 - \Phi)\Xi c^*$ 仮想濃度場



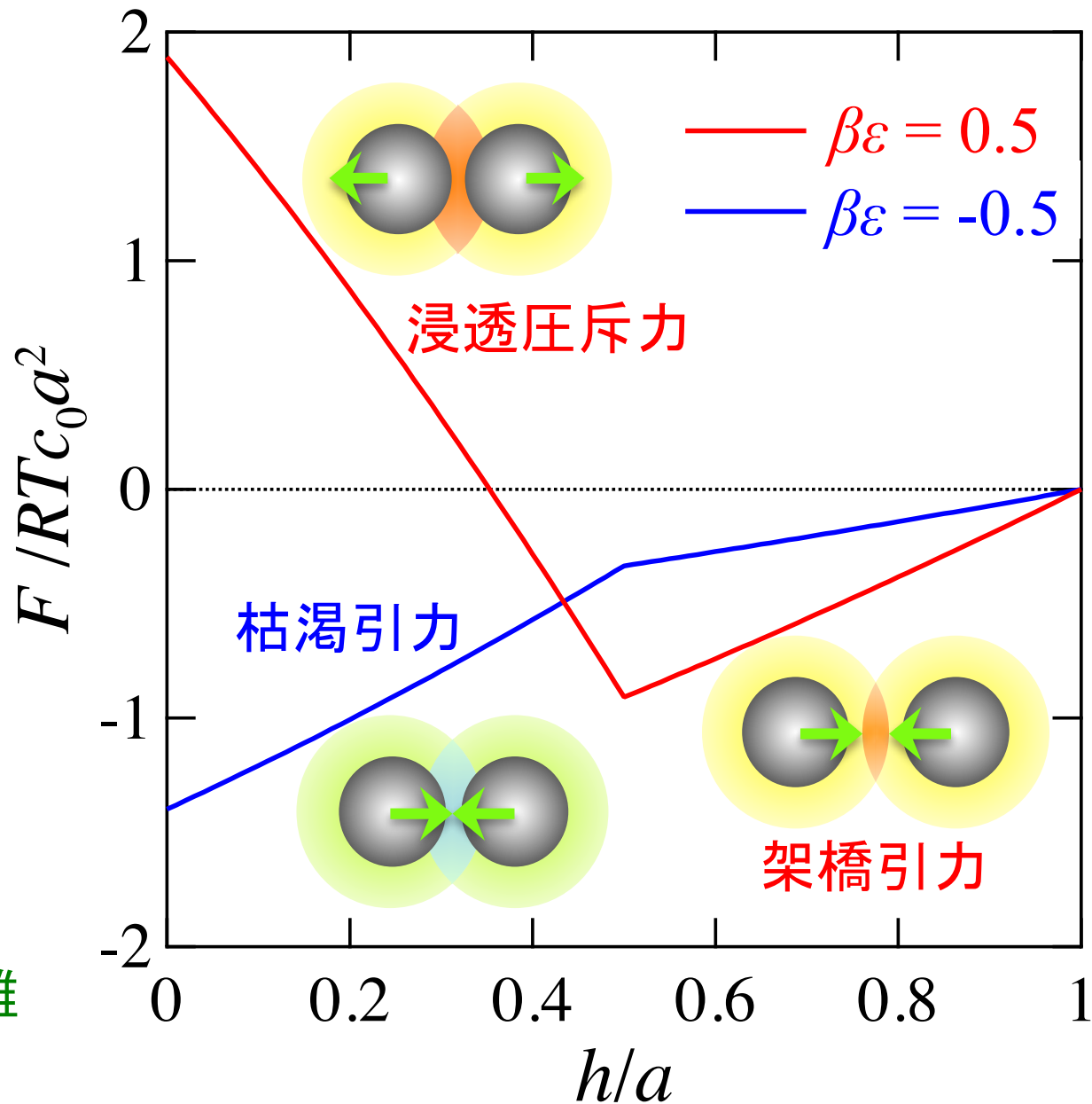
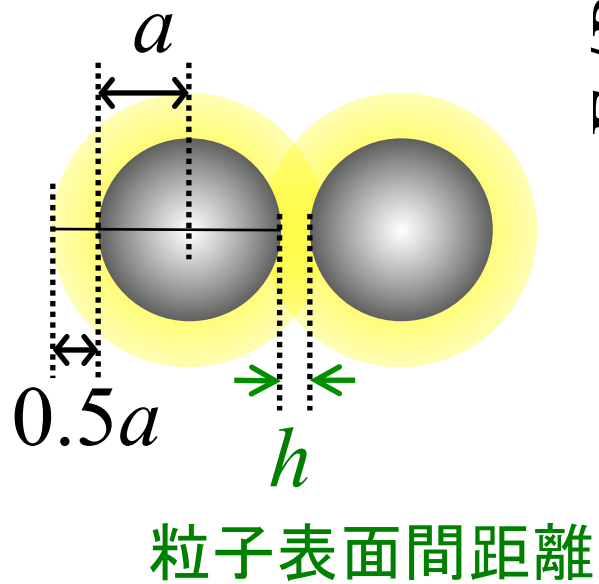
溶質濃度分布



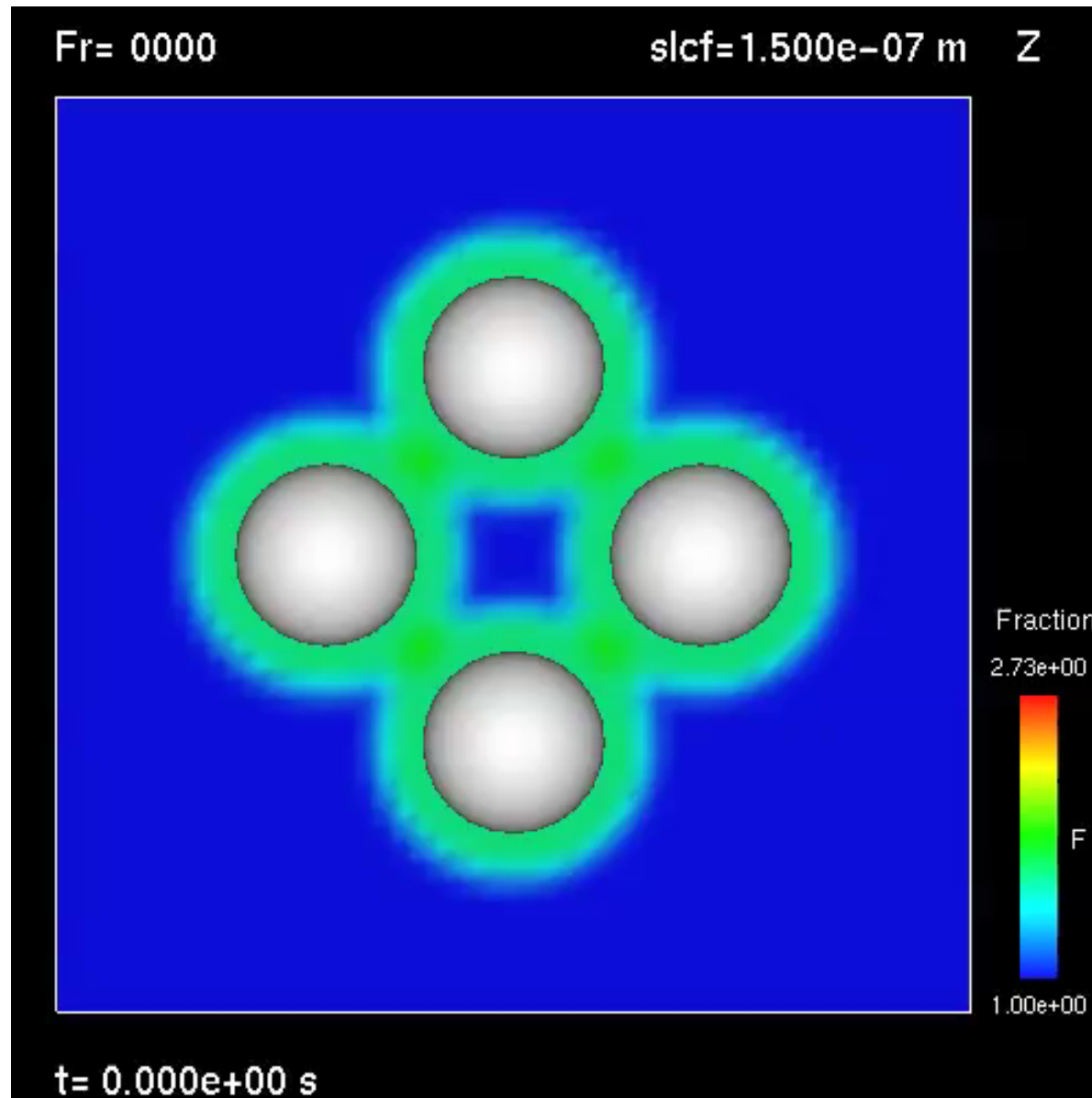
吸着層を形成
(溶質濃度が高い領域)



吸着による粒子間力（解析解）

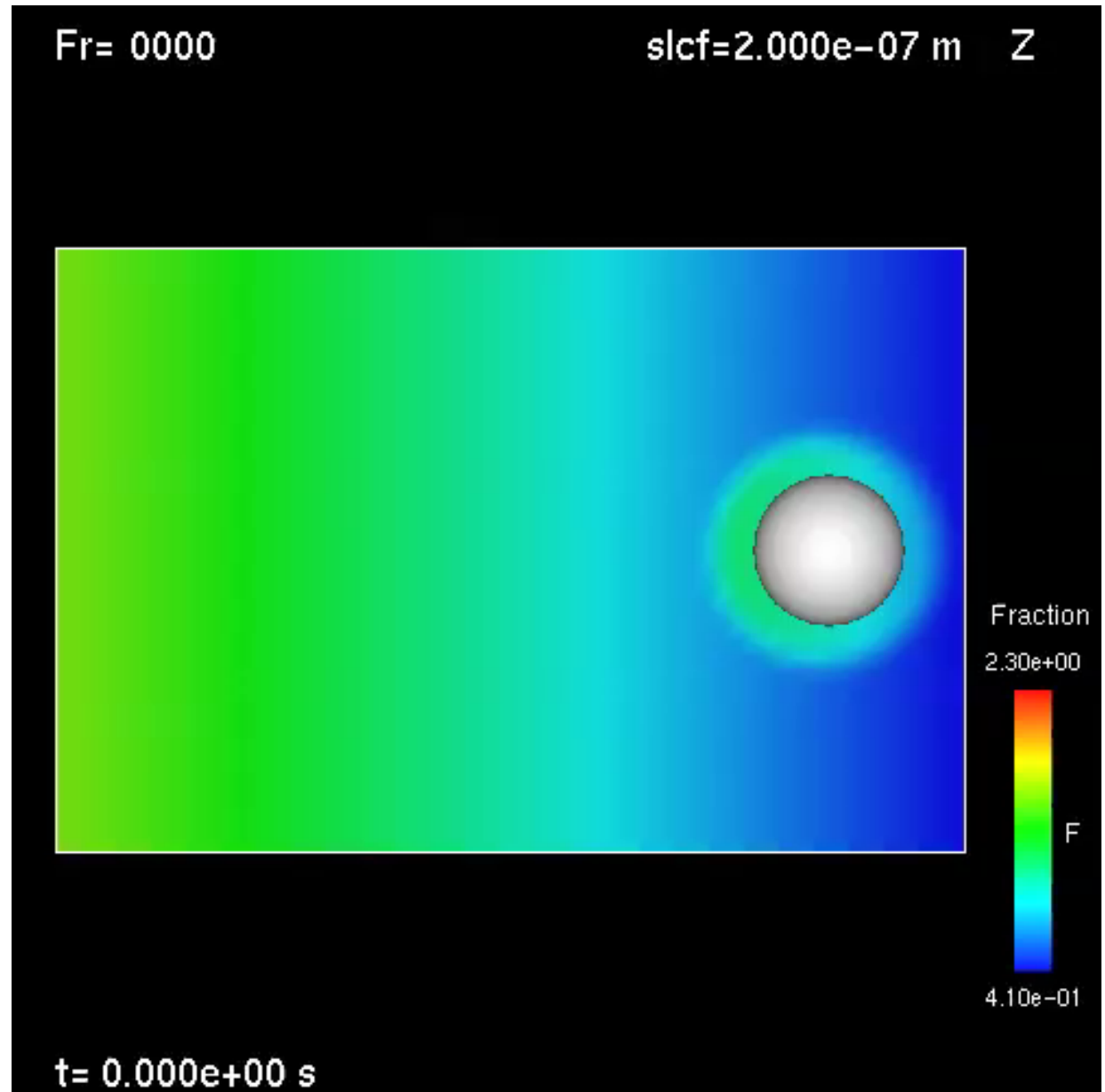


溶質吸着による粒子凝集



拡散泳動(一定濃度勾配)

不均一濃度場
↓
粒子運動



数值計算条件

深澤佑介(日大・安藤研)
平成26年度 卒業研究

溶媒(水)

・温度 $20\text{ }^{\circ}\text{C}$

粒子

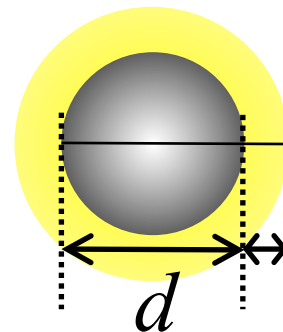
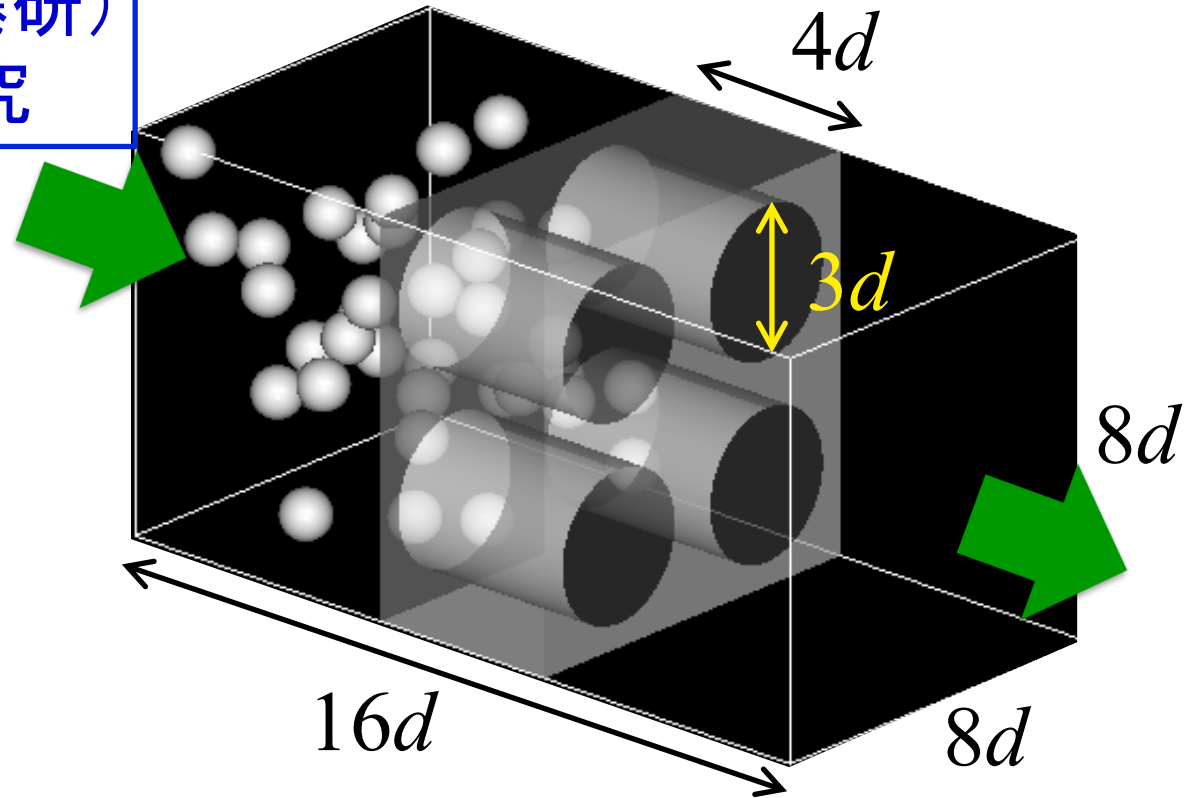
・粒径 $d = 100\text{ nm}$
 ・体積分率 $5\text{ vol.}\%$
 ・ ζ -電位 -50 mV
 (粒子, 膜共通)

溶質

・バルク溶質濃度 0.01 mol/L

運転条件

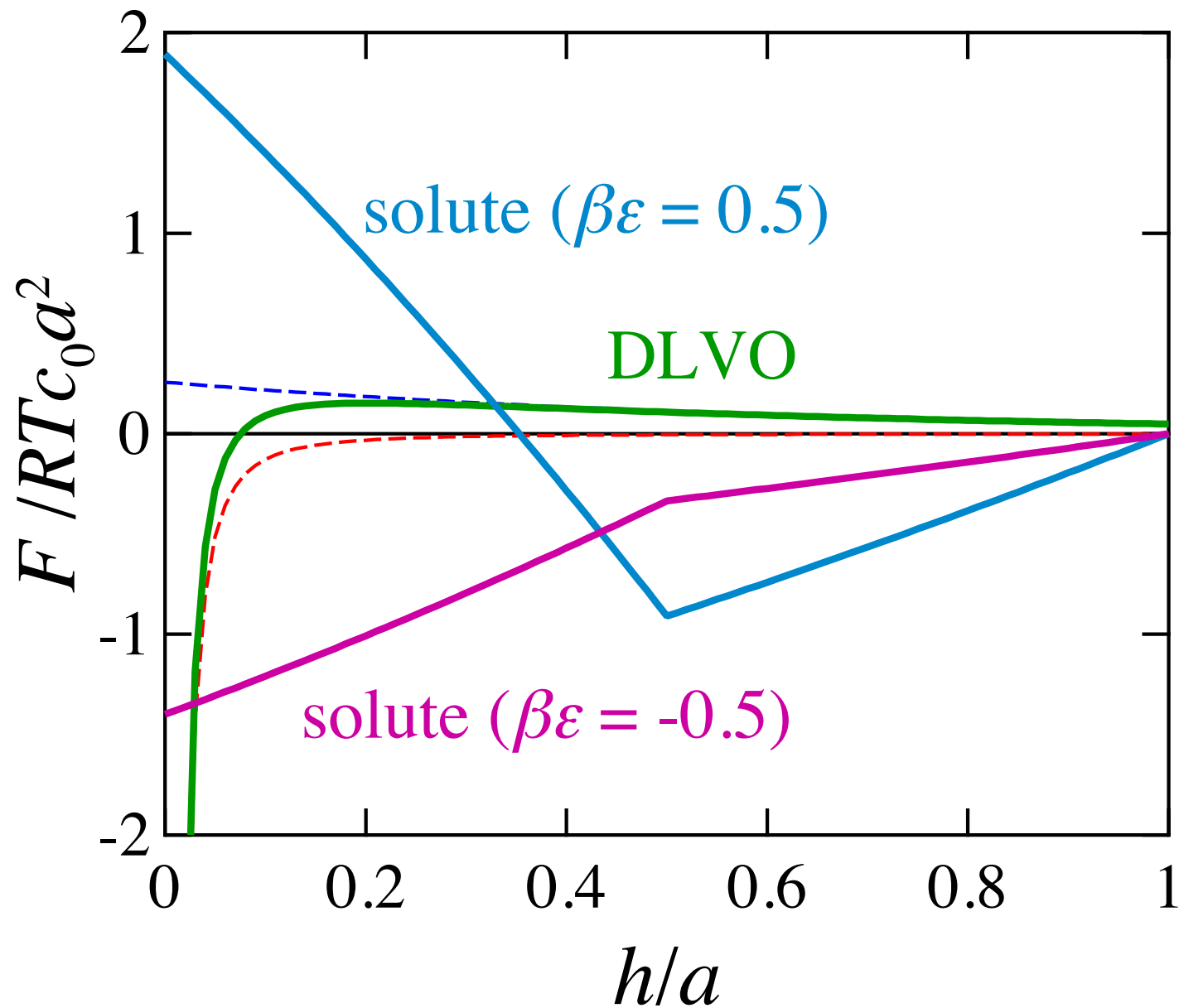
・圧力勾配 100 GPa/m



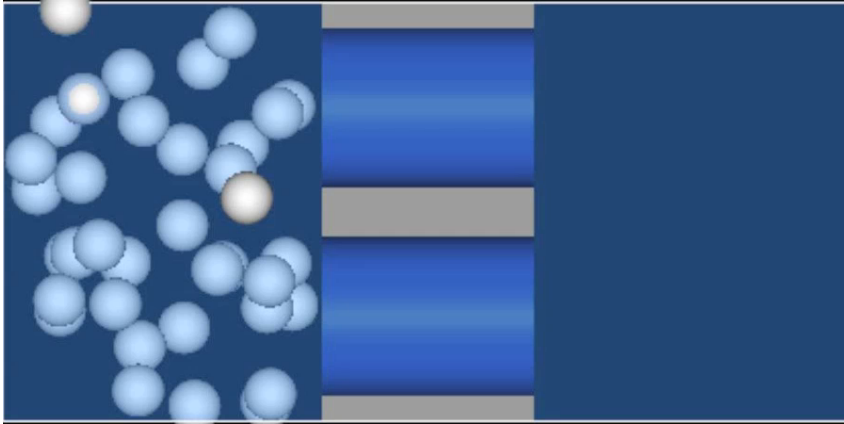
・吸着層
 (粒子, 膜共通)

$0.25d$

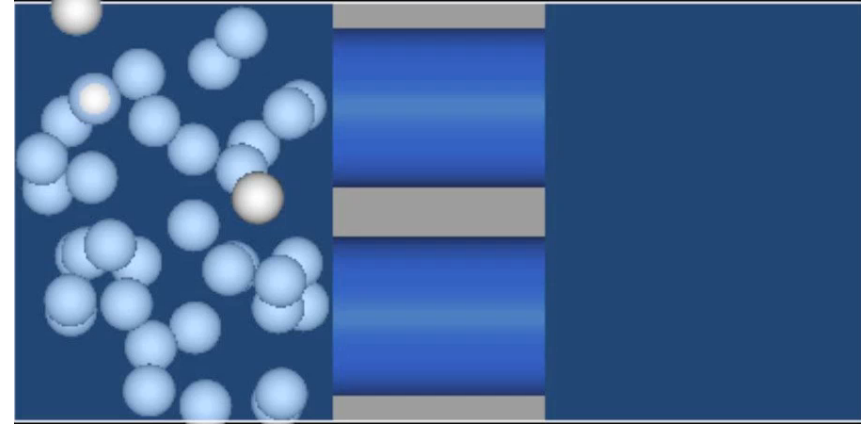
粒子間力



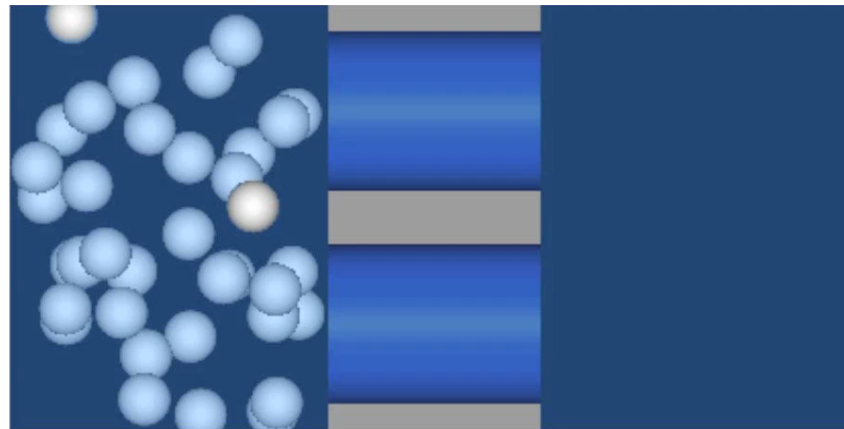
数值計算結果



$$\beta\varepsilon = 0.5$$



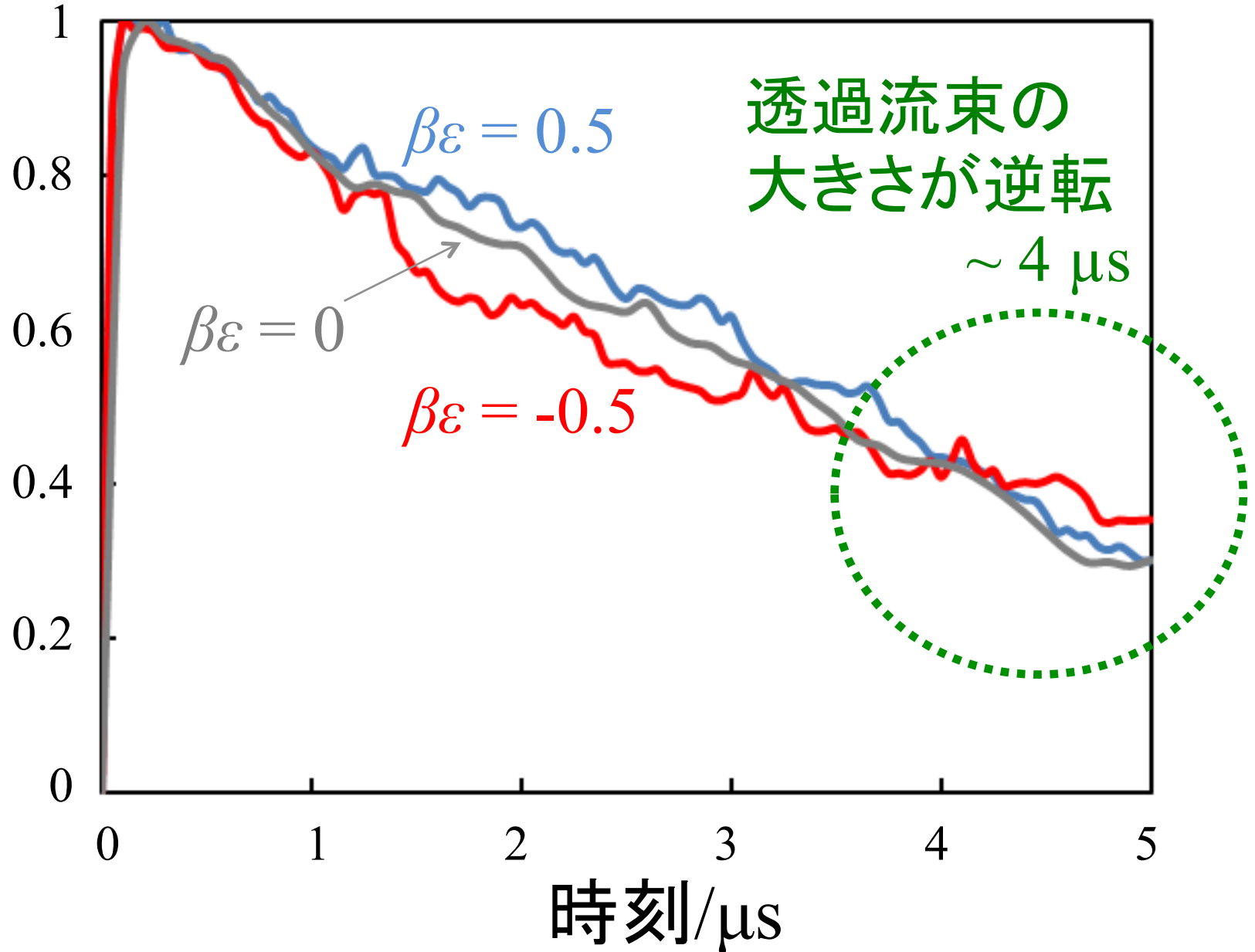
$$\beta\varepsilon = -0.5$$



$$\beta\varepsilon = 0$$

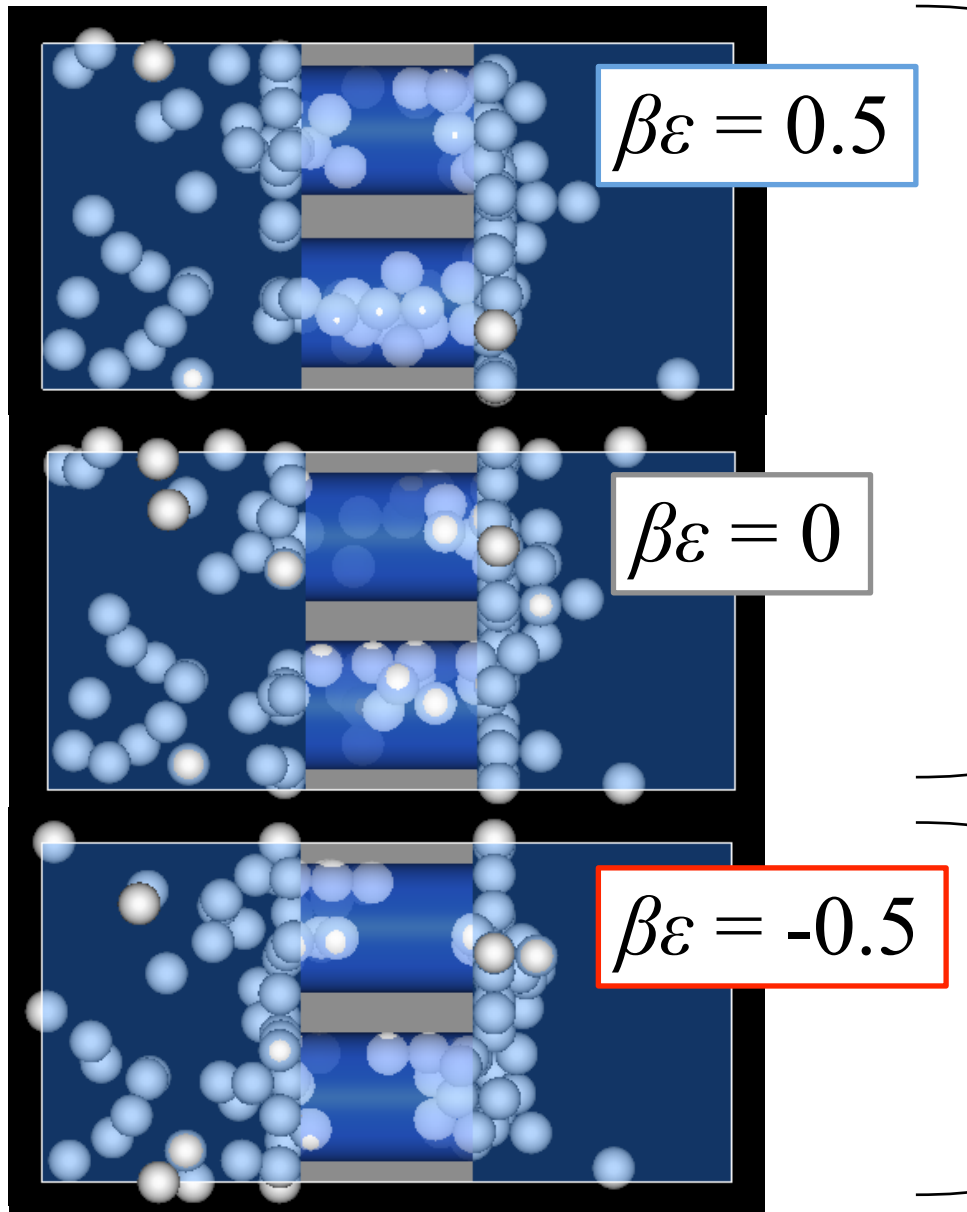
透過流束

正規化透過流束



粒子の堆積状況

$t = 4 \mu\text{s}$



- 後方で堆積
→ 目詰まりの起点
→ 流量の減少
- 前方で堆積
→ 目詰まりを抑止
→ 流量を維持
(ケーキ層の形成)

総括

- 膜/粒子への溶質吸着を考慮した精密濾過のメソスケールモデルの構築を行った

溶質の膜/粒子への物理吸着
溶質の輸送(移流/拡散)

- 溶質吸着による粒子-膜/粒子間相互作用が粒子の堆積, 透過流束に影響を及ぼすことを示した

→ 吸着性溶質による濾過性能への影響の解析に有用